

九州大学 工学部 学生員 ○田中彌司  
 " " 正員 栗谷陽一  
 " " 正員 藤田哲也  
 " " 正員 古賀憲一

**I 研究梗概** フロック形成機構の解明、並びにフロックの性質を知る事やフロック形成槽及びフロック形成に係る水処理プロセスについても重要な課題である。フロックの付着強度は高速接触型沉没池においても運転管理上重要な意味をもつ、かつフロック形成機構を解明する上でも重要な因子である。フロックは過去にうすい最大の粒群強度(GT値と称す)に対して履歴性を示すことを著者らは指摘した。<sup>(1)</sup> すなはち急速搅拌の後緩速搅拌を行なつてフロックを形成した際、急速搅拌強度が大きいほど同一の緩速搅拌強度により形成されたフロックはもしかねばどの平均径が小さくなることから指摘した。また搅拌能続時間(T)の増加と共に同一粒径のフロックの沈降速度が増加していくことからフロックが何らかの原因により、もまれてフロック密度が増加してCompact化する二種類の現象を指摘した。<sup>(2)</sup> さらに著者らは搅拌能続時間(T)の増加と共に付着強度が低下することも指摘した。<sup>(2)</sup> 以上のこととはG値(=Tの増加にしたがつて付着強度が低下する事実を示したものであり、GT値に対する検討ではない。従つて本報では濁質除去の実験を行うことにより付着強度がどのように変化するかを検討した。

**II 実験装置と方法** 実験に使用したジャーテスターは6個の槽から成り、各の各槽は容量、構造共に従来のもとの同一である。実験方法はジャーテスターに蒸留水を満たし所定の搅拌強度で回しつつ<sup>(3)</sup> pH調整(ホウ酸調整)のための(事前に満足して求めたおいた量)NaHCO<sub>3</sub>を注入し、次に所定量の硫酸カオリーンと硫酸バインドを順次注入してフロックを形成せし。次に小寸法墨入りの銅製の板を側壁と6.5mmの間隔を保つて取り付く、二の間隔巾にのみ存在するフロックを接着しフロックの体積濃度を求めてフロックの粒度分布をも求めた。濁質除去は形成フロックを大粒子、濁質として注入するものを微粒子と見なしうるよう濁質としてカオリンを用いた。所定時間搅拌を能続したのちカオリン懸濁液を注入し、さらに搅拌を続け、所定の時間間隔でジャーテスターから排水し、濁度計により濁質の除去量を求めた。

**III 基礎式** 大フロックと微小フロックが剪断場で衝突し、微小フロックが大フロックに衝突合一するとき微小フロックの単位時間あたりの減少量は式(1)で与えられる。

$$\frac{dn_s}{dt} = -\frac{4}{3} \alpha G (R_e + R_s)^3 M_e M_s \quad (1)$$

G: 搅拌強度(cci) 2: 単位時間・単位質量あたりのエネルギー散逸量  
 V: 重粘性係数、 R<sub>e</sub>: 大フロック半径、 R<sub>s</sub>: 小フロック半径

M<sub>e</sub>: 大フロックの単位体積あたりの個数、 M<sub>s</sub>: 小フロックの単位体積あたりの個数  
 α (= d<sub>s</sub> · d<sub>e</sub>) 衝突付着率 d<sub>s</sub>: 付着率 d<sub>e</sub>: 衝突確率・開数

大フロックの体積濃度は  $V_f = \frac{4}{3} \pi R^3 M_e$  --- (2) とす。 (1) 式より  $R_e \gg R_s$  成り立つとき

$$\frac{M_s}{M_{so}} = \exp \left( -\frac{\alpha}{\pi} G V_f (t - t_0) \right) \quad M_{so}: t = t_0 における微小フロックの単位体積あたりの個数$$

Let  $\alpha = \frac{2.3 \pi}{G D_f (t - t_0)} \log \left( \frac{M_s}{M_{so}} \right)$  --- (3)

$$\alpha = -\frac{2.3 \pi}{G D_f (t - t_0)} \log \left( \frac{M_s}{M_{so}} \right) \quad (3)$$

**IV 実験結果と考察** G値B<sub>0</sub>T(大フロック形成のために硫酸バインドを投入した時点から濁質投入時までの時間)を様々なに変化させた。このときGをある値に一定に保ちつつTを様々なに変化させたときの濁質除去量の時間変化を図1, 2, 3に示す。図1, 2の曲線においてもTの増加と共に勾配が小さくなる傾向がわかる。すなはち投入濁質濃度25ppmの図1, 3では  $\log(\alpha/G) \sim t$  lineが、いわゆるの場合にはある所で折れ曲がったあと、水平に近い状態に

なるようである。しかもTが大きくなる折れ曲がる位置は上方にくる傾向が見られる。投入濁質濃度 $10\text{ppm}$ の図2では、二の現象は見られない。図1,3の $\log(S/C)$ ～ $t$  lineが折れ曲がり水平になるのは $T=7$ から濁質が飽和してそれ以上の濁質を取らなくなるからと思われる。図2では折れ曲がる点は $10\text{min}$

は図1,3が投入濁質 $25\text{ppm}$ であるのにに対し、図2が投入濁質 $10\text{ppm}$ と低いため、 $T=7$ から濁質により飽和しているためである。図4はより最終除去量を示す。又Tが大きくなるほど折れ曲がり点が上方にくるのは、Tが大きくなると最終濁質除去量が減少する事と意味している。一方単位体積に存在する $70\text{mg/m}^2$ の全表面積 $m^2$ (粒度分布から算定した)はTと共に増加するが変化は示していない。(70mg/m<sup>2</sup>の見かけ密度 $\rho = 500\text{kg/m}^3$ と $(d/70\text{mg})^2$ に比例すると可。 $T=7$ 重量 $m^2 = (\rho)^2 \times m^3 / (m^2 \cdot 70\text{mg})$ で $m^2$ は $T=7$ から構成 $m^2 = 3.2 \times 10^{-6}$ )は比例する。この時 $m^2$ は $m^2$ に比例する事である。故に $m^2$ は一定のとき $T=7$ の全表面積 $m^2$ は $d$ に比例してかからず(やはり一定値を保つ)。故に折れ曲がり点からTの増加と共に上方にくる $\log(S/C)$ とTの増加と共に $T=7$ 単位表面積あたりの濁質の付着量の減少を意味していると考えられる。このことからTの増加と共に $T=7$ の付着強度が減少している事は以下の如きの如くと思われる。濁質の除去速度 $E$ は $G=1$ で無次元化したものと、 $GT$ の関係を図5に示すとほぼ一直線上にならぶようである。

体積濃度 $T$ と $GT$ の関係を図6に示す。ただし $T$ の算定は $G=70$ ,  $G=100$ の場合、側壁接写により、 $G=200$ の場合顕微鏡撮影により得た。このようにして得られた値を基礎式(3)に代入すると $\alpha$ は $GT$ の付着強度率 $\alpha$ を得る。又 $GT$ の関係を図7に示す。二の場合物成工場で $70\text{mg/m}^2$ と濁質として投入されたガラス棒との粒度比は100倍程度あり若干の透水性が $70\text{mg/m}^2$ にあらば、 $\alpha$ は $GT$ の付着強度率 $\alpha$ は $GT$ に一定となる。 $\alpha$ の差は付着強度 $\alpha$ の差と考えられる。図7からいざれば $G=70$ でも $GT$ が大きいほど $\alpha$ が大きくなることがわかる。これは $GT$ が大きくなると $GT$ 同一の $GT$ でも $G=70$ より $G=100$ より $G=200$ の方が付着強度に対する履歴性といふことを示す。この矛盾が生じる原因として $T$ の算定に十分な精度がないために生じたのではないかと考えられる。

#### 参考文献

- (1) 楠田、 $70\text{mg/m}^2$ 条件からの性質と $10\text{ppm}$ 濁質による影響  
日本会議社叢書27号(1983.9)
- (2) 楠田、硝酸ガラス棒による $70\text{mg/m}^2$ 濁質による影響  
 $70\text{mg/m}^2$ 濁質による影響(1996.1)
- (3) 楠田、衛生工学研究討論会講演論文集  
第2回衛生工学研究討論会講演論文集(1992)(II)土壤質地性質

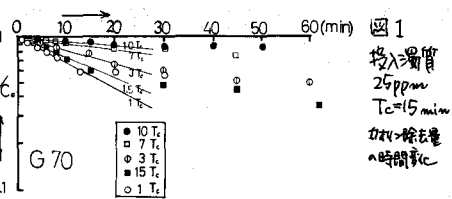


図1  
投入濁質 $25\text{ppm}$   
 $T_c=5\text{min}$   
付着除去量  
時間変化

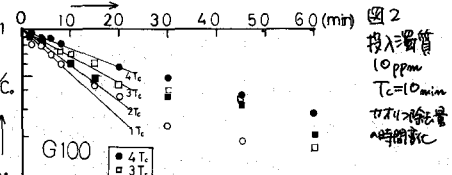


図2  
投入濁質 $10\text{ppm}$   
 $T_c=10\text{min}$   
付着除去量  
時間変化

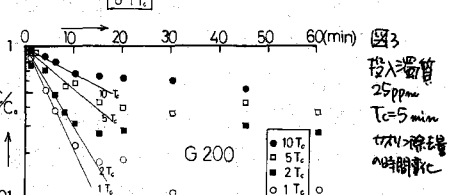


図3  
投入濁質 $25\text{ppm}$   
 $T_c=5\text{min}$   
付着除去量  
時間変化

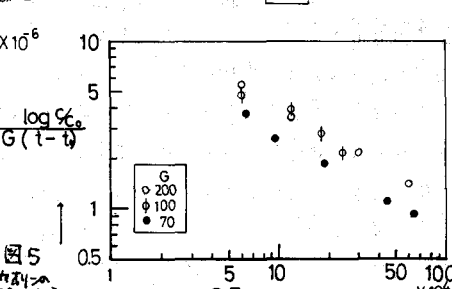


図5  
無次元化除去速度とG-Tの関係

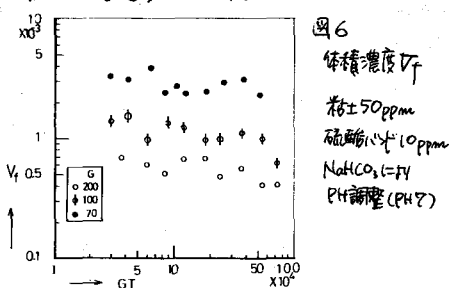


図6  
体積濃度 $T$   
粘土 $50\text{ppm}$   
硫酸ナトリウム $10\text{ppm}$   
 $\text{NaHCO}_3=1\text{V}$   
 $\text{pH} 7$ 調整(PH7)

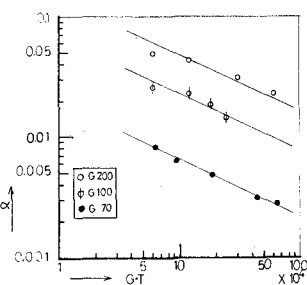


図7  
吸着強度率 $\alpha$